

虎杖昔对新生小鼠高氧肺损伤的保护作用研究[△]

安敏*,王帅道,袁东烨,何靓男(电子科技大学医学院附属绵阳医院·绵阳市中心医院烧伤整形外科,四川绵阳 621000)

中图分类号 R96;R932

文献标志码 A

文章编号 1672-2124(2021)09-1061-04

DOI 10.14009/j.issn.1672-2124.2021.09.010

摘要 目的:研究虎杖昔通过SPOCK2表达对新生小鼠高氧肺损伤的保护作用。方法:体外培养小鼠正常肺上皮细胞mlE-12,作为对照组;利用高氧刺激mlE-12细胞,作为高氧组。用50、100和150 μmol/ml的虎杖昔处理mlE-12细胞,再用高氧刺激,作为高氧+低剂量组、高氧+中剂量组和高氧+高剂量组。将pcDNA、pcDNA-SPOCK2转染至mlE-12细胞,再用高氧刺激细胞,作为高氧+pcDNA组、高氧+pcDNA-SPOCK2组。将si-NC、si-SPOCK2转染至mlE-12细胞,高氧刺激后,再用高剂量(150 μmol/ml)虎杖昔处理细胞,作为高氧+高剂量+si-NC组、高氧+高剂量+si-SPOCK2组。采用化学法检测细胞丙二醛(MDA)含量和超氧化物歧化酶(SOD)活性;采用酶联免疫吸附试验法检测细胞肿瘤坏死因子α(TNF-α)、白细胞介素1β(IL-1β)和白细胞介素6(IL-6)的含量。采用实时荧光定量聚合酶链反应检测细胞SPOCK2 mRNA表达。采用蛋白质印迹法检测SPOCK2蛋白表达。结果:与对照组比较,高氧组细胞MDA含量显著升高,SOD活性显著降低;与高氧组比较,高氧+低剂量组、高氧+中剂量组和高氧+高剂量组细胞MDA含量显著降低,SOD活性显著升高,差异均有统计学意义($P<0.05$)。与对照组比较,高氧组细胞TNF-α、IL-1β和IL-6水平显著升高;与高氧组比较,高氧+低剂量组、高氧+中剂量组和高氧+高剂量组细胞TNF-α、IL-1β和IL-6水平显著降低,差异均有统计学意义($P<0.05$)。与对照组比较,高氧组细胞SPOCK2 mRNA和蛋白表达显著降低;与高氧组比较,高氧+低剂量组、高氧+中剂量组和高氧+高剂量组细胞SPOCK2 mRNA和蛋白表达显著升高,差异均有统计学意义($P<0.05$)。与高氧+pcDNA组比较,高氧+pcDNA-SPOCK2细胞MDA含量和TNF-α、IL-1β、IL-6水平显著降低,SOD活性显著升高;与高氧+高剂量+si-NC组比较,高氧+高剂量+si-SPOCK2组细胞MDA含量和TNF-α、IL-1β、IL-6水平显著升高,SOD活性显著降低,差异均有统计学意义($P<0.05$)。结论:虎杖昔通过上调SPOCK2表达抑制新生小鼠高氧肺损伤,对肺部具有保护作用。

关键词 虎杖昔; SPOCK2; 高氧环境; 氧化应激; 炎症因子

Protective Effects of Polydatin on Hyperoxic Lung Injury in Neonatal Mice[△]

AN Min, WANG Shuaidao, YUAN Dongye, HE Liangnan (Dept. of Orthopedics, Affiliated Mianyang Hospital of Medical College of University of Electronic Science and Technology of China/Mianyang Central Hospital, Sichuan Mianyang 621000, China)

ABSTRACT OBJECTIVE To probe into the protective effects of polydatin on hyperoxic lung injury through the expression of SPOCK2 in neonatal mice. METHODS: Normal lung epithelial cells mlE-12 in mice were cultured in vitro and set as the control group; mlE-12 cells were stimulated with hyperoxia and set as the hyperoxia group. The mlE-12 cells were treated with 50, 100 and 150 μmol/ml of thujaplicin, and then stimulated with hyperoxia, which were set as the hyperoxia + low dose group, hyperoxia + medium dose group and hyperoxia + high dose group, respectively. The pcDNA and pcDNA-SPOCK2 were transfected into mlE-12 cells, which were stimulated with hyperoxia and set as hyperoxia + pcDNA group and hyperoxia + pcDNA-SPOCK2 group. The si-NC and si-SPOCK2 were transfected into mlE-12 cells, then stimulated with hyperoxia and treated with high dose (150 μmol/ml) of thujaplicin, which were set as hyperoxia + high dose + si-NC group and hyperoxia + high dose + si-SPOCK2 group. Malondialdehyde (MDA) content and superoxide dismutase (SOD) activity were detected by chemical method; tumor necrosis factor α (TNF-α), interleukin-1β (IL-1β) and interleukin-6 (IL-6) content were detected by enzyme-linked immunosorbent assay. Real-time fluorescence quantitative polymerase chain reaction was used to detect SPOCK2 mRNA expression. Expression of SPOCK2 protein was detected by protein blotting. RESULTS: Compared with the control group, the MDA content increased significantly and SOD activity decreased significantly in the hyperoxia group; compared with the hyperoxia group, the MDA content decreased significantly and SOD activity increased significantly in the hyperoxia + low dose group, hyperoxia + medium dose group and hyperoxia + high dose group, with

△ 基金项目:2018年四川省卫生和计划生育科研课题资助项目(NO. 18PJ124)

* 主管护师。研究方向:烧伤整形外科。E-mail:qk62743@21cn.com

statistically significant differences ($P < 0.05$)。Compared with the control group, the levels of TNF- α , IL-1 β and IL-6 increased significantly in the hyperoxia group; compared with the hyperoxia group, the levels of TNF- α , IL-1 β and IL-6 decreased significantly in the hyperoxia + low dose group, hyperoxia + medium dose group and hyperoxia + high dose group, with statistically significant differences ($P < 0.05$)。Compared with the control group, the SPOCK2 mRNA and protein expression decreased significantly in the hyperoxia group; compared with the hyperoxia group, the SPOCK2 mRNA and protein expression increased significantly in the hyperoxia + low dose group, hyperoxia + medium dose group and hyperoxia + high dose group, with statistically significant differences ($P < 0.05$)。Compared with the hyperoxia + pcDNA group, the MDA content, levels of TNF- α , IL-1 β and IL-6 decreased significantly and the SOD activity increased significantly in the hyperoxia + pcDNA-SPOCK2 cells; compared with the hyperoxia + high dose + si-NC group, the MDA content, levels of TNF- α , IL-1 β and IL-6 increased significantly and SOD activity decreased significantly in the hyperoxia + high dose + si-SPOCK2 group, with statistically significant differences ($P < 0.05$)。

CONCLUSIONS: Polydatin can inhibit hyperoxic lung injury in neonatal mice through up-regulating the SPOCK2 expression, which has protective effects for lung tissues.

KEYWORDS Polydatin; SPOCK2; Hyperoxia; Oxidative stress; Inflammatory factors

虎杖苷是植物虎杖的提取物,主要作用包括镇咳、去痰、平喘、抗菌、清除自由基、调节血脂和降低胆固醇等^[1-2]。本研究探讨了虎杖苷通过SPOCK2表达对新生小鼠高氧肺损伤的保护作用,现报告如下。

1 材料与方法

1.1 材料

1.1.1 仪器:SCR20B型冷冻离心机(日本HITACHI公司);Mx3000P型Real time PCR仪器(美国Agilent公司);DF-23B型凝胶扫描系统(英国UVP公司);ABI9700型PCR扩增仪(美国ABI公司);UV-1206型分光光度计(日本SHIMODZU公司);GDS7600型水平式电泳仪(北京东方仪器厂)。

1.1.2 药品:虎杖苷购自南京泽朗医药科技有限公司,用DMSO溶液充分溶解,再稀释成所需的浓度。

1.1.3 试剂:小鼠正常肺上皮细胞mLE-12(美国ATCC公司);RPMI-1640培养基、胎牛血清购自美国Sigma公司;丙二醛(MDA)、超氧化物歧化酶(SOD)试剂盒购自南京建成生物工程研究所;酶联免疫吸附试验(enzyme linked immunosorbent assay, ELISA)试剂盒购自上海酶联生物科技有限公司;RIPA蛋白裂解液、二辛可宁酸(bicinchoninic acid, BCA)试剂盒购自上海碧云天生物科技研究所;实时荧光定量聚合酶链反应(polymerase chain reaction, PCR)试剂盒购自大连宝生物科技有限公司。

1.2 方法

1.2.1 细胞处理与分组:用含10%胎牛血清的RPMI-1640培养基培养小鼠正常肺上皮细胞mLE-12,置于37℃、5%CO₂的恒温培养箱中,当细胞生长融合至80%~90%时,用传代细胞进行后续实验。正常培养的mLE-12细胞作为对照组;利用高氧刺激mLE-12细胞作为高氧组。用50、100和150 μmol/ml虎杖苷处理mLE-12细胞,再用高氧刺激,作为高氧+低剂量组、高氧+中剂量组和高氧+高剂量组。将pcDNA、pcDNA-SPOCK2转染至mLE-12细胞,再用高氧刺激细胞,作为高氧+pcDNA组、高氧+pcDNA-SPOCK2组。将si-NC、si-SPOCK2转

染至mLE-12细胞,高氧刺激后,再用高剂量(150 μmol/ml)虎杖苷处理细胞,作为高氧+高剂量+si-NC组、高氧+高剂量+si-SPOCK2组。

1.2.2 ELISA法检测细胞炎症因子水平:各组细胞培养48 h后,提取上清液,ELISA法检测TNF-α、IL-1β和IL-6,实验步骤按照试剂盒的详细说明书进行。

1.2.3 化学法检测细胞MDA含量和SOD活性:各组细胞培养48 h后,提取上清液,MDA含量采用改良的硫代巴比妥酸法测定,SOD活性采用黄嘌呤氧化酶法测定,详细实验操作按照试剂盒说明书进行。

1.2.4 实时荧光定量PCR检测细胞SPOCK2 mRNA表达:各组细胞培养48 h,提取总RNA,将RNA反转录成cDNA,按照荧光定量试剂盒使用说明进行PCR,每个样品设3个重复,循环条件为95℃、5 min,95℃、30 s,60℃、30 s,72℃、30 s,共40个循环;60℃延长5 min。相对表达量用 $2^{-\Delta\Delta Ct}$ 法计算。SPOCK2以GAPDH为内参,SPOCK2上游引物为5'-CCATCGG TTGGATGTTCTCT-3',下游引物为5'-TGTAGGTGTCGCA GGACTTG-3';GAPDH上游引物为5'-GCCAGCAAGGATA CTGAGA-3',下游引物为5'-GGGTGCACCGAACCTTATTG-3';引物由上海生工生物工程公司合成。

1.2.5 蛋白质印迹(Western blot)法检测SPOCK2蛋白质表达:各组细胞培养48 h,加入RIPA细胞裂解液提取总蛋白,使用BCA蛋白浓度检测试剂盒对提取的蛋白进行定量。进行SDS-PAGE电泳并分离蛋白,将分离的蛋白在转至PVDF膜上,于封闭液中封闭2 h。TBST洗涤后加入相应一抗,SPOCK2一抗(1:1 000稀释),4℃过夜孵育,再加入1:2 000稀释的二抗,室温(25℃)孵育2 h,TBST洗涤后,加入ECL试剂进行显色,于暗室显影、定影,使用Image J软件对图像进行分析,将β-actin作为内参,计算各组蛋白表达。

1.3 统计学方法

采用SPSS 20.0软件统计分析,计量资料用均数±标准差($\bar{x}\pm s$)表示,两组比较采用t检验,多组间比较采用单因素方差

分析,组间两两比较采用 LSD-t 检验;以 $P<0.05$ 为差异有统计学意义。

2 结果

2.1 虎杖昔对新生小鼠高氧肺细胞氧化应激的影响

与对照组比较,高氧组细胞的 MDA 含量显著升高,SOD 活性显著降低,差异均有统计学意义($P<0.05$);与高氧组比较,高氧+低剂量组、高氧+中剂量组和高氧+高剂量组细胞的 MDA 含量显著降低,SOD 活性显著升高,差异均有统计学意义($P<0.05$),见表 1。

表 1 虎杖昔对新生小鼠高氧肺细胞氧化应激的影响

($\bar{x}\pm s, n=9$)

Tab 1 Effect of polydatin on oxidative stress of hyperoxic lung cells in neonatal mice ($\bar{x}\pm s, n=9$)

组别	MDA/(nmol/mgprot)	SOD/(U/mgprot)
对照组	7.62±0.82	168.09±15.54
高氧组	14.68±2.04 *	86.34±3.14 *
高氧+低剂量组	10.34±0.96 #	103.68±12.33 #
高氧+中剂量组	9.25±0.63 §	128.19±10.84 §
高氧+高剂量组	8.54±0.31 §	149.67±13.54 §
F	375.016	303.148
P	0.000	0.000

注:与对照组比较, * $P<0.05$;与高氧组比较, # $P<0.05$, § $P<0.01$, § $P<0.001$

Note: vs. the control group, * $P<0.05$; vs. the hyperoxia group, # $P<0.05$, § $P<0.01$, § $P<0.001$

2.2 虎杖昔对新生小鼠高氧肺细胞炎症因子的影响

与对照组比较,高氧组细胞的 TNF- α 、IL-1 β 和 IL-6 水平显著升高,差异均有统计学意义($P<0.05$);与高氧组比较,高氧+低剂量组、高氧+中剂量组和高氧+高剂量组细胞的 TNF- α 、IL-1 β 和 IL-6 水平显著降低,差异均有统计学意义($P<0.05$),见表 2。

表 2 虎杖昔对新生小鼠高氧肺细胞炎症因子的影响

($\bar{x}\pm s, n=9, \text{pg/ml}$)

Tab 2 Effect of polydatin on inflammatory factors of hyperoxic lung cells in neonatal mice ($\bar{x}\pm s, n=9, \text{pg/ml}$)

组别	TNF- α	IL-1 β	IL-6
对照组	25.86±2.38	18.88±1.54	22.38±4.36
高氧组	65.64±5.83 *	55.24±6.27 *	63.89±4.08 *
高氧+低剂量组	43.57±5.01 #	39.21±4.18 #	46.37±2.20 #
高氧+中剂量组	38.01±2.24 §	28.31±2.22 §	37.02±1.96 §
高氧+高剂量组	28.37±1.94 §	20.01±3.41 §	26.49±3.33 §
F	186.327	163.087	206.971
P	0.000	0.000	0.000

注:与对照组比较, * $P<0.05$;与高氧组比较, # $P<0.05$, § $P<0.01$, § $P<0.001$

Note: vs. the control group, * $P<0.05$; vs. the hyperoxia group, # $P<0.05$, § $P<0.01$, § $P<0.001$

表 4 SPOCK2 过表达对新生小鼠高氧肺细胞损伤的影响($\bar{x}\pm s, n=9$)

Tab 4 Effects of the over-expression of SPOCK2 on hyperoxia lung cell damage in neonatal mice ($\bar{x}\pm s, n=9$)

组别	MDA/(nmol/mgprot)	SOD/(U/mgprot)	TNF- α /(pg/ml)	IL-1 β /(pg/ml)	IL-6/(pg/ml)
高氧+pcDNA 组	15.94±1.87	72.31±8.88	70.35±6.37	66.37±5.41	64.82±4.37
高氧+pcDNA-SPOCK2 组	8.64±0.99 *	142.37±6.44 *	33.49±2.58 *	28.91±3.21 *	23.76±2.94 *
t	86.317	58.758	69.147	55.472	80.007
P	0.000	0.000	0.000	0.000	0.000

注:与高氧+pcDNA 组比较, * $P<0.05$

Note: vs. hyperoxia + pcDNA group, * $P<0.05$

2.3 虎杖昔对新生小鼠高氧肺细胞 SPOCK2 表达的影响

与对照组比较,高氧组细胞的 SPOCK2 mRNA 和蛋白表达显著降低,差异均有统计学意义($P<0.05$);与高氧组比较,高氧+低剂量组、高氧+中剂量组和高氧+高剂量组细胞的 SPOCK2 mRNA 和蛋白表达显著升高,差异均有统计学意义($P<0.05$),见图 1、表 3。

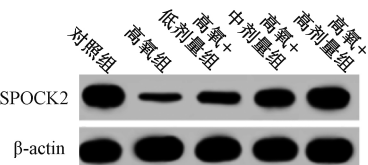


图 1 相关蛋白表达图

Fig 1 Diagram of expression of related protein

表 3 虎杖昔对新生小鼠高氧肺细胞 SPOCK2 表达的影响

($\bar{x}\pm s, n=9$)

Tab 3 Effect of polydatin on the expression of SPOCK2 of hyperoxic lung cells in neonatal mice ($\bar{x}\pm s, n=9$)

组别	SPOCK2 mRNA	SPOCK2 蛋白
对照组	1.00±0.10	0.93±0.09
高氧组	0.42±0.04 *	0.35±0.03 *
高氧+低剂量组	0.65±0.06 #	0.55±0.05 #
高氧+中剂量组	0.73±0.07 §	0.77±0.06 §
高氧+高剂量组	0.88±0.08 §	0.85±0.07 §
F	96.314	88.961
P	0.000	0.000

注:与对照组比较, * $P<0.05$;与高氧组比较, # $P<0.05$, § $P<0.01$, § $P<0.001$

Note: vs. the control group, * $P<0.05$; vs. the hyperoxia group, # $P<0.05$, § $P<0.01$, § $P<0.001$

2.4 SPOCK2 过表达对新生小鼠高氧肺细胞损伤的影响

与高氧+pcDNA 组比较,高氧+pcDNA-SPOCK2 细胞的 MDA 含量和 TNF- α 、IL-1 β 、IL-6 水平显著降低,SOD 活性显著升高,差异均有统计学意义($P<0.05$),见表 4。

2.5 抑制 SPOCK2 表达对虎杖昔用于新生小鼠高氧肺细胞损伤的影响

与高氧+高剂量+si-NC 组比较,高氧+高剂量+si-SPOCK2 组细胞的 MDA 含量和 TNF- α 、IL-1 β 、IL-6 水平显著升高,SOD 活性显著降低,差异均有统计学意义($P<0.05$),见表 5。

3 讨论

虎杖昔是从中药虎杖的干燥根茎中提取的第 4 种单体,属于芪类化合物,虎杖昔对肺微血管内皮细胞损伤具有一定的治疗效果,可起到保护肺部的作用。有研究结果表明,虎杖昔可以减轻肺部的病理损伤情况,抑制大鼠肺部氧化应激反

表 5 抑制 SPOCK2 表达对虎杖苷用于新生小鼠高氧肺细胞损伤的影响($\bar{x}\pm s$, n=9)Tab 5 Effects of the inhibition of expression of SPOCK2 on hyperoxia lung cell damage in neonatal mice ($\bar{x}\pm s$, n=9)

组别	MDA/(nmol/mgprot)	SOD/(U/mgprot)	TNF- α /(pg/ml)	IL-1 β /(pg/ml)	IL-6/(pg/ml)
高氧+高剂量+si-NC 组	8.54±0.31	158.07±11.19	25.55±2.28	30.89±4.62	22.17±1.38
高氧+高剂量+si-SPOCK2 组	14.18±2.22 *	72.38±7.34 *	67.92±5.67 *	72.34±5.81 *	58.91±3.33 *
t	103.489	132.762	86.147	94.673	108.941
P	0.000	0.000	0.000	0.000	0.000

注:与高氧+高剂量+si-NC 组比较, * P<0.05

Note: vs. hyperoxia + high dose + si-NC group, * P<0.05

应,抑制大鼠肺炎症介质释放^[3]。张新彧等^[4]的研究结果发现,虎杖苷对百草枯中毒造成的大鼠急性肺损伤具有保护作用。曹媛媛等^[5]的研究结果认为,虎杖苷通过上调线粒体自噬,可以显著改善氧化应激介导的肺泡上皮细胞线粒体损伤。邓加雄等^[2]的研究结果显示,虎杖苷通过激活 SIRT3,可以显著改善脂多糖诱导的肺泡上皮线粒体损伤。曹堃^[6]的研究结果显示,虎杖苷能够有效缓解电离辐射诱导的小鼠肺组织病理改变,减轻肺水肿。虎杖苷还可以减少小鼠炎症细胞因子的释放,发挥放射性肺损伤防护作用。王雷琛等^[7]的研究结果显示,虎杖苷可降低肺 MDA 含量,提高 SOD 活性,抑制肺组织中 TNF- α 、IL-6 水平,从而减轻小鼠在高原缺氧环境下的肺组织损伤。本研究结果表明,与对照组比较,高氧组细胞 MDA 含量显著升高,SOD 活性显著降低;与高氧组比较,高氧+低剂量组、高氧+中剂量组和高氧+高剂量组细胞 MDA 含量显著降低,SOD 活性显著升高。与对照组比较,高氧组细胞 TNF- α 、IL-1 β 和 IL-6 水平显著升高;与高氧组比较,高氧+低剂量组、高氧+中剂量组和高氧+高剂量组细胞 TNF- α 、IL-1 β 和 IL-6 水平显著降低。

SPOCK2 表达与许多疾病的发生发展密切相关,有研究报道,SPOCK2 基因与支气管肺发育不良具有非常重要的关系^[8-10]。本研究结果发现,与对照组比较,高氧组细胞 SPOCK2 mRNA 和蛋白表达显著降低;与高氧组比较,高氧+低剂量组、高氧+中剂量组和高氧+高剂量组细胞 SPOCK2 mRNA 和蛋白表达显著升高。陈涛等^[11]的研究结果表明,与对照组比较,高氧组大鼠肺组织中 SPOCK2 mRNA 和蛋白表达量显著降低。张媛^[12]的研究结果表明,LncRNANACI-NKX2.1 信号通路下调可能参与高氧诱导新生小鼠肺损伤的发病机制。

本研究结果表明,与高氧+高剂量+si-NC 组比较,高氧+高剂量+si-SPOCK2 组细胞的 MDA 含量和 TNF- α 、IL-1 β 、IL-6 水平显著升高,SOD 活性显著降低。抑制 SPOCK2 表达逆转了虎杖苷对新生小鼠高氧肺细胞损伤的抑制作用,使氧化应激和炎症因子水平升高。说明虎杖苷通过上调 SPOCK2 表达,抑制新生小鼠高氧肺损伤。类似研究结果发现,谷氨酰胺通过 ERS 途径减轻高氧诱导新生大鼠肺组织水肿及炎症反应^[13]。朱晓丹^[14]的研究结果发现,白藜芦醇通过降低活性氧和 p53 的表达,减轻高氧诱导的新生大鼠肺组织凋亡。

综上所述,虎杖苷通过上调 SPOCK2 表达抑制新生小鼠高氧肺损伤,对肺部具有保护作用。

参考文献

- [1] 赵雨皓.虎杖苷通过 AMPK/Nrf2/HO-1 通路改善哮喘小鼠气道炎症及气道重塑[D].延吉:延边大学,2019.
- [2] 邓加雄,王香,李桂成,等.虎杖苷对脂多糖介导的肺泡上皮细胞线粒体损伤的影响[J].中华老年多器官疾病杂志,2019,18(7):527-531.
- [3] 张梓宸.虎杖苷对创伤性颅脑损伤后神经元线粒体和肺损伤的保护作用研究[D].广州:南方医科大学,2019.
- [4] 张新彧,黄杨,孙纪元,等.虎杖苷对急性百草枯中毒大鼠肺损伤的干预研究[J].解放军医药杂志,2018,30(4):9-12.
- [5] 曹媛媛,李桂成,邓加雄,等.虎杖苷改善氧化应激介导的肺泡上皮细胞线粒体损伤的机制[J].中华老年多器官疾病杂志,2020,19(2):141-145.
- [6] 曹堃.虎杖苷对放射性肺损伤防护及肺部肿瘤抑制作用研究[D].上海:中国人民解放军海军军医大学,2017.
- [7] 王雷琛,姜艳,张迪,等.虎杖苷对模拟高原低氧环境所致小鼠脑、肺损伤的保护作用[J].中南药学,2015,13(4):343-348.
- [8] Hadchouel A, Durrmeyer X, Bouzigon E, et al. Identification of SPOCK2 as a susceptibility gene for bronchopulmonary dysplasia [J]. Am J Respir Crit Care Med, 2011, 184(10):1164-1170.
- [9] 刘丽巧,肖莎莎.SPOCK2 基因多态性与支气管肺发育不良的关系研究进展[J].重庆医学,2021,50(5):860-864.
- [10] 米弘瑛,刘凯,许小艳,等.睾酮 2(SPOCK2)基因多态性与昆明地区新生儿支气管肺发育不良相关性[J].实用医学杂志,2019,35(1):117-121.
- [11] 陈涛,胡毓华,陆超.高氧肺损伤新生大鼠肺组织中 SPOCK2 基因表达的研究[J].南京医科大学学报:自然科学版,2018,38(3):299-304.
- [12] 张媛.LncRNA NANCI-NKX2.1 信号通路在高氧诱导新生小鼠肺损伤中作用的研究[D].南京:南京医科大学,2017.
- [13] 王叶,王红,张书剑,等.谷氨酰胺通过内质网应激途径对新生大鼠高氧肺损伤的保护作用[J].吉林大学学报:医学版,2020,46(1):7-13.
- [14] 朱晓丹.白藜芦醇通过减轻凋亡对新生鼠高氧肺损伤的保护性作用研究[D].泸州:西南医科大学,2019.

(收稿日期:2021-04-26)

欢迎订阅《中国医院用药评价与分析》杂志!